

Fig. 1A

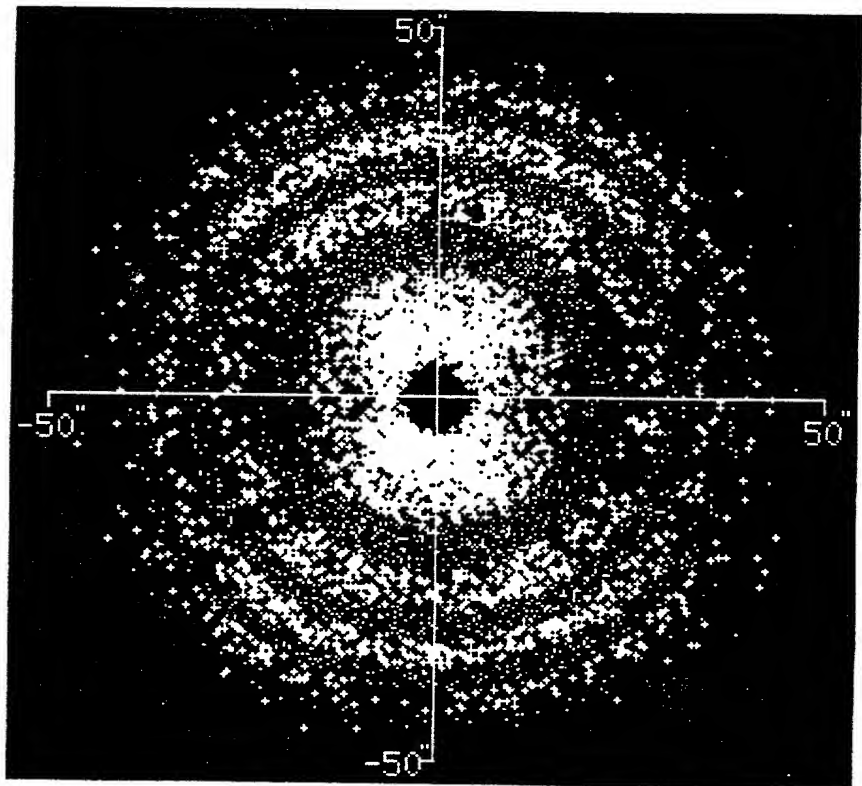


Fig. 1B

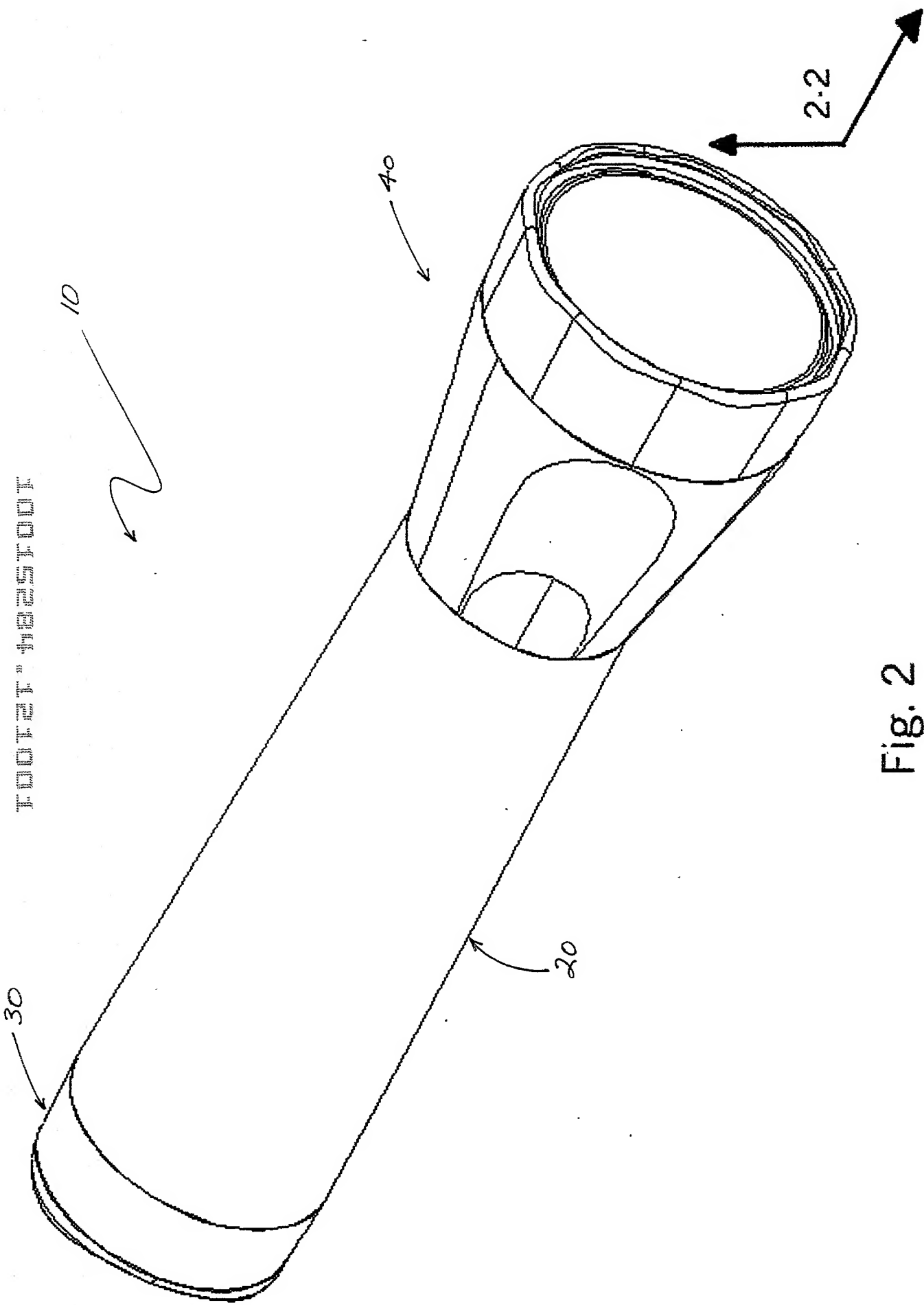


Fig. 2

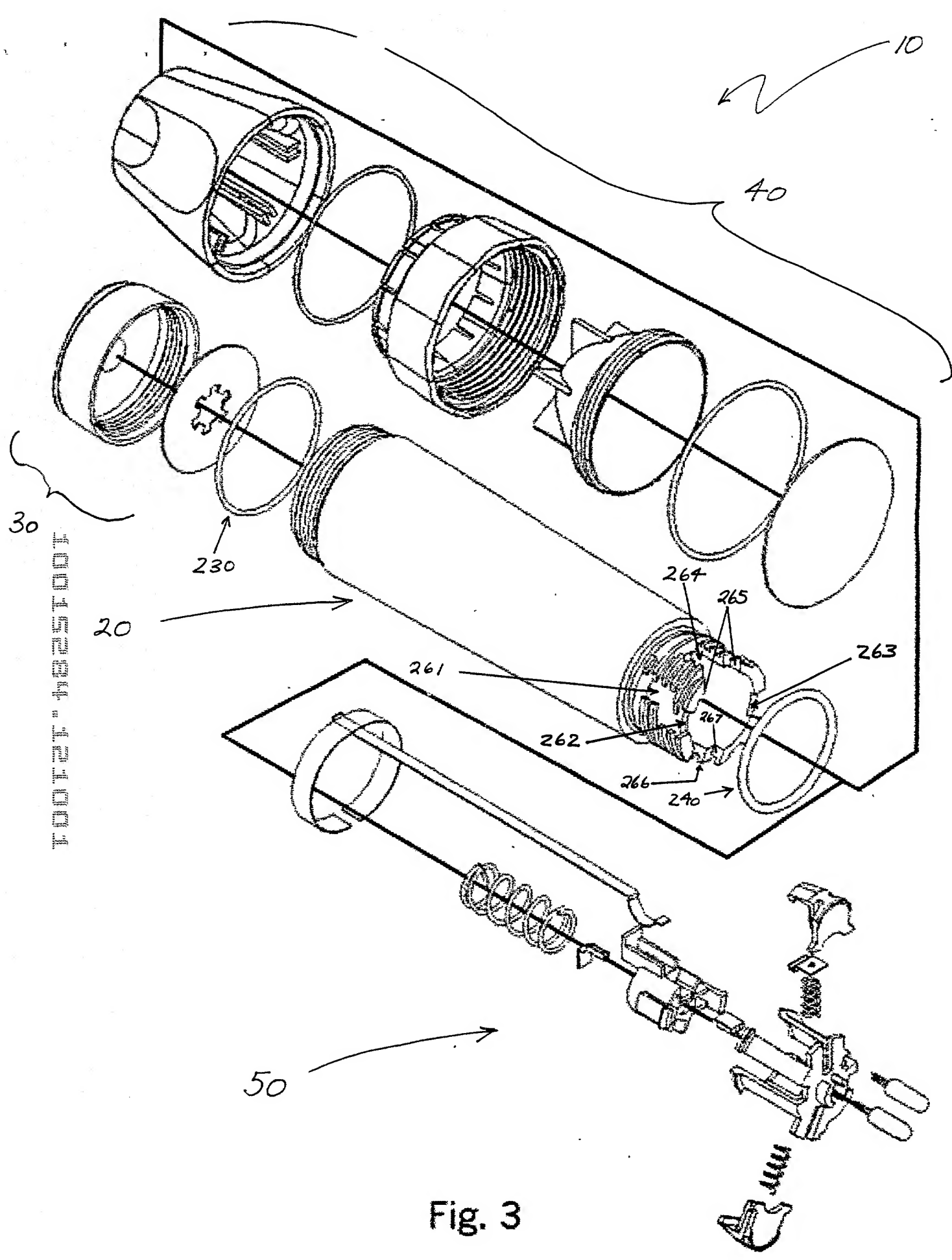


Fig. 3

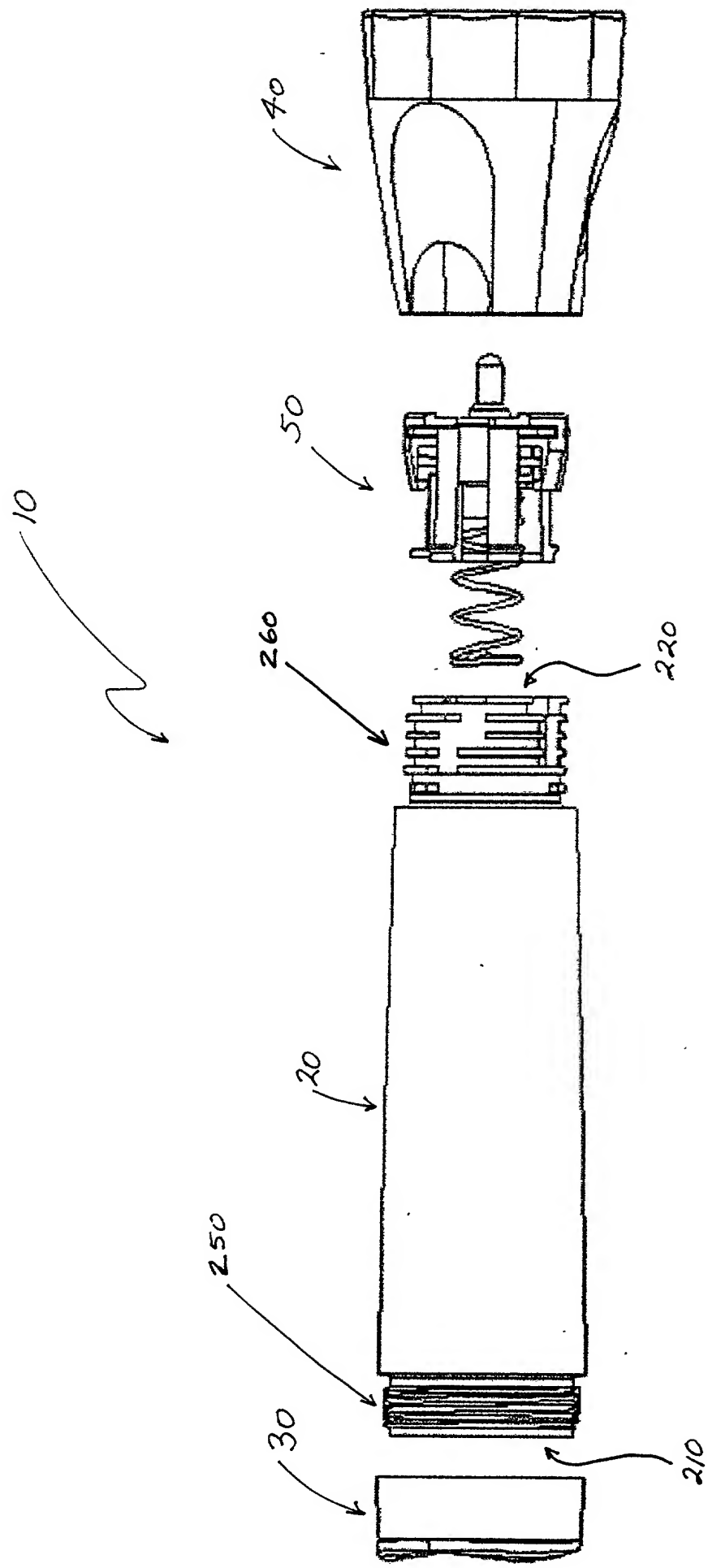


Fig. 4

FIGURE FIFTEEN

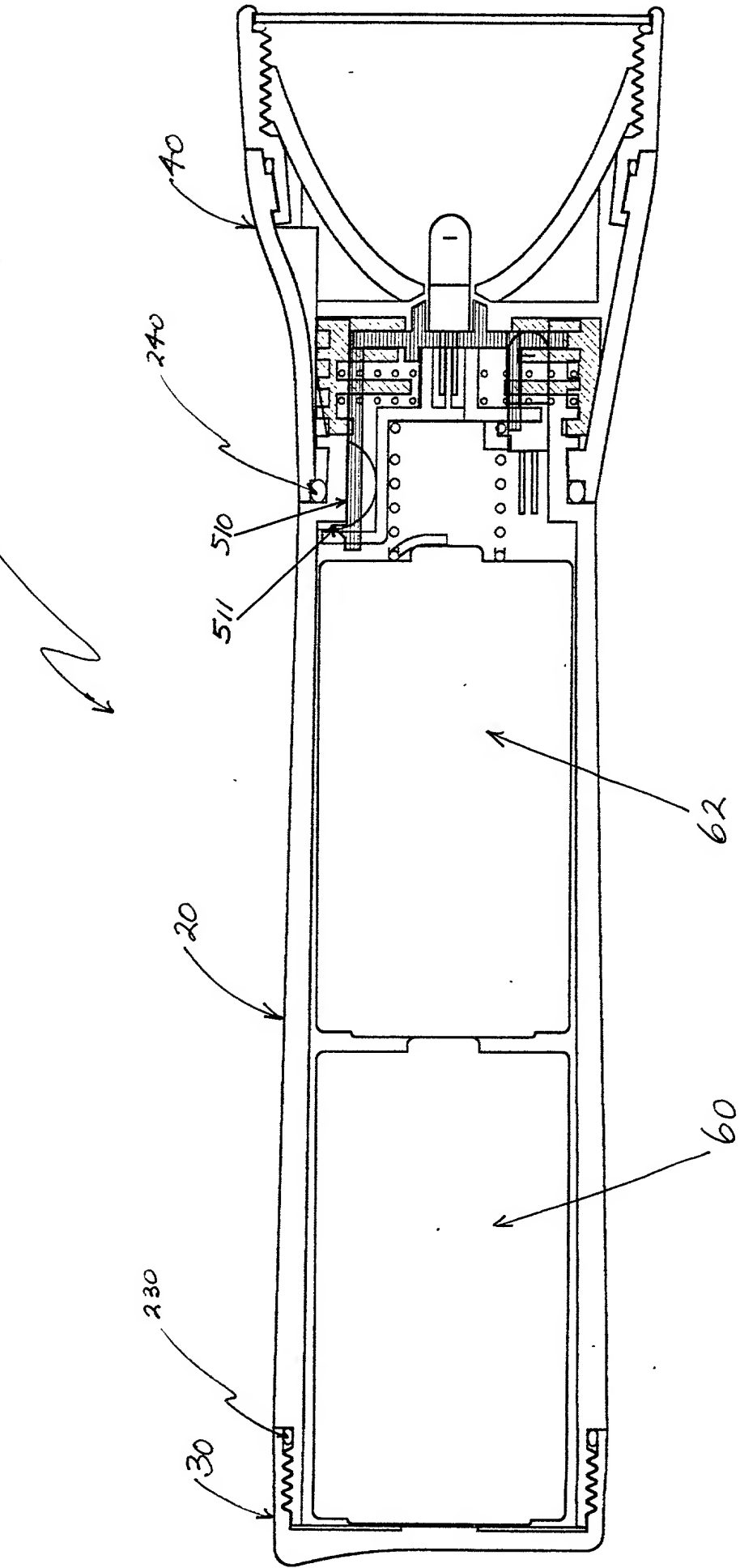


Fig. 5

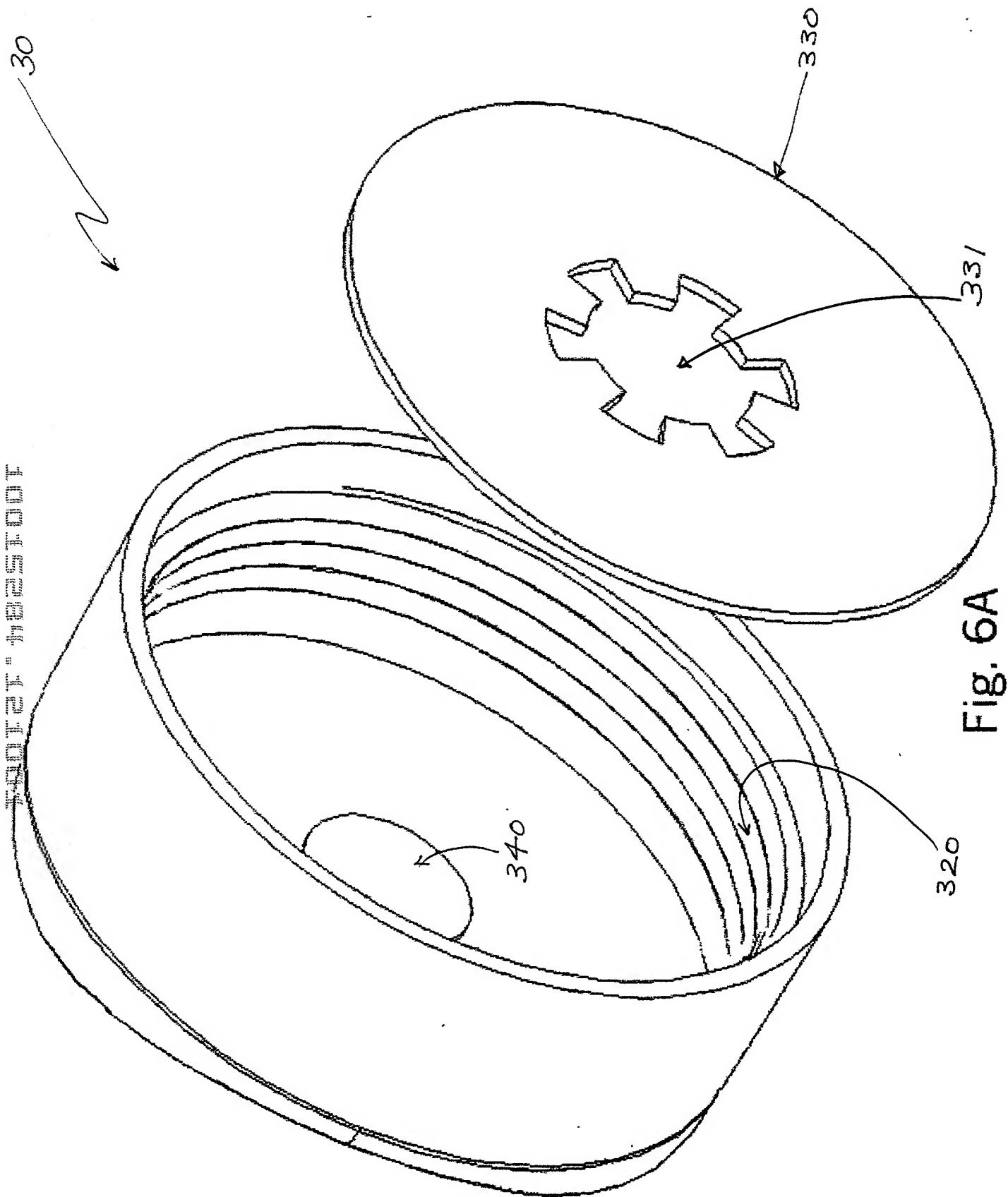


Fig. 6A

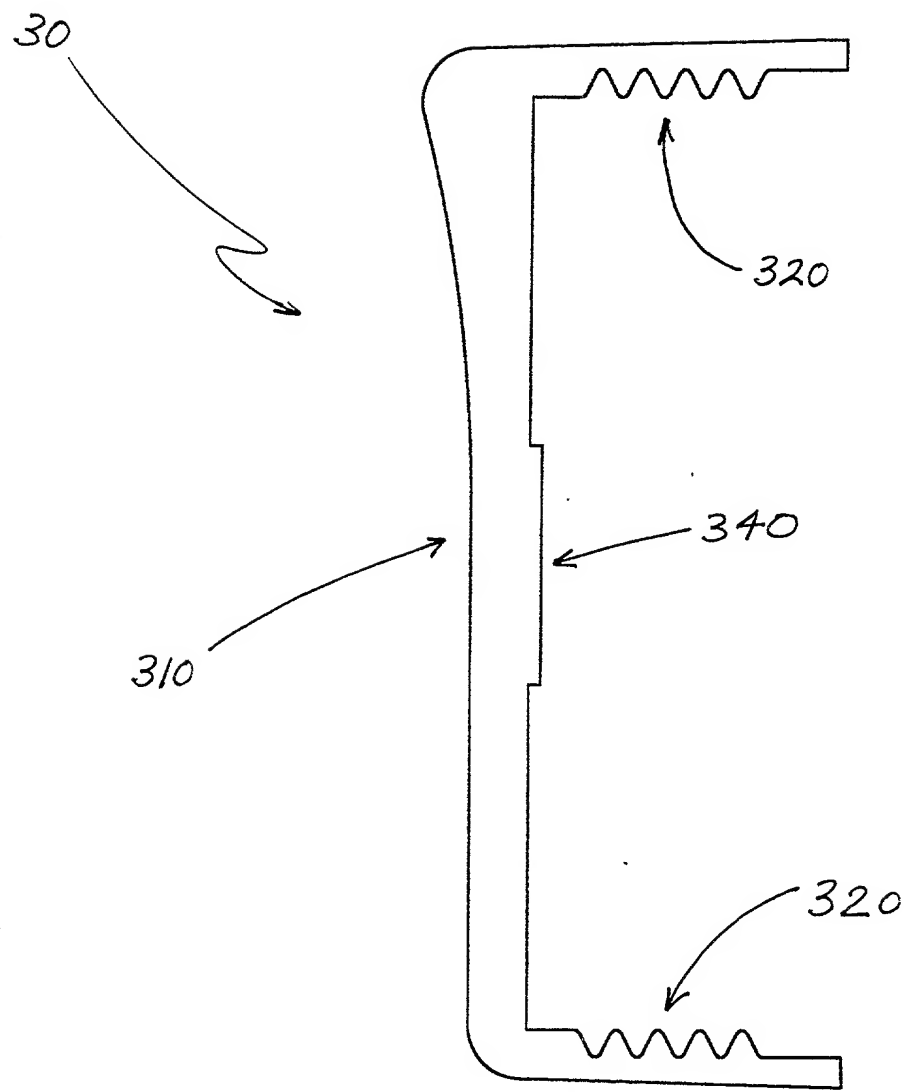


Fig. 6B

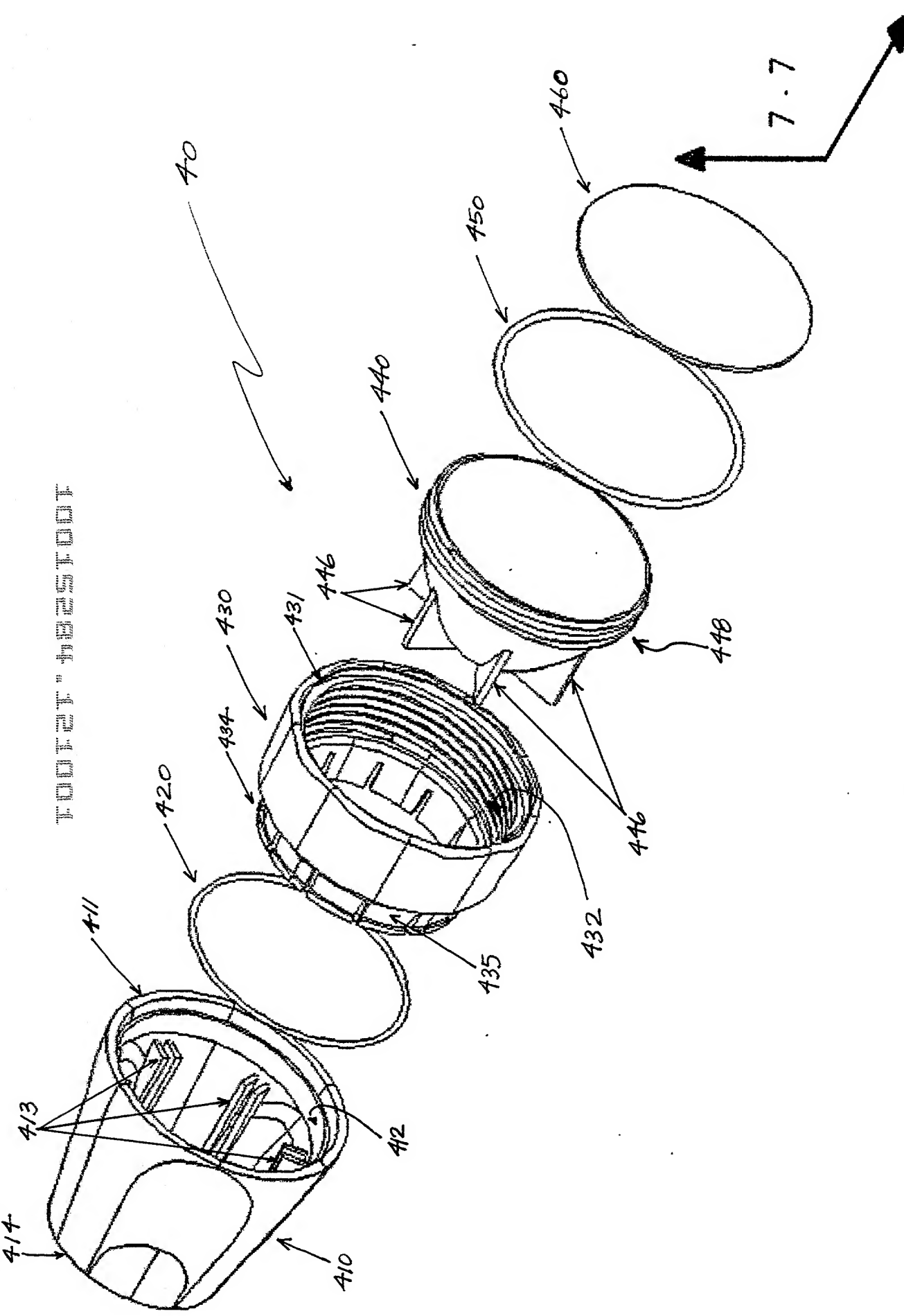


Fig. 7A

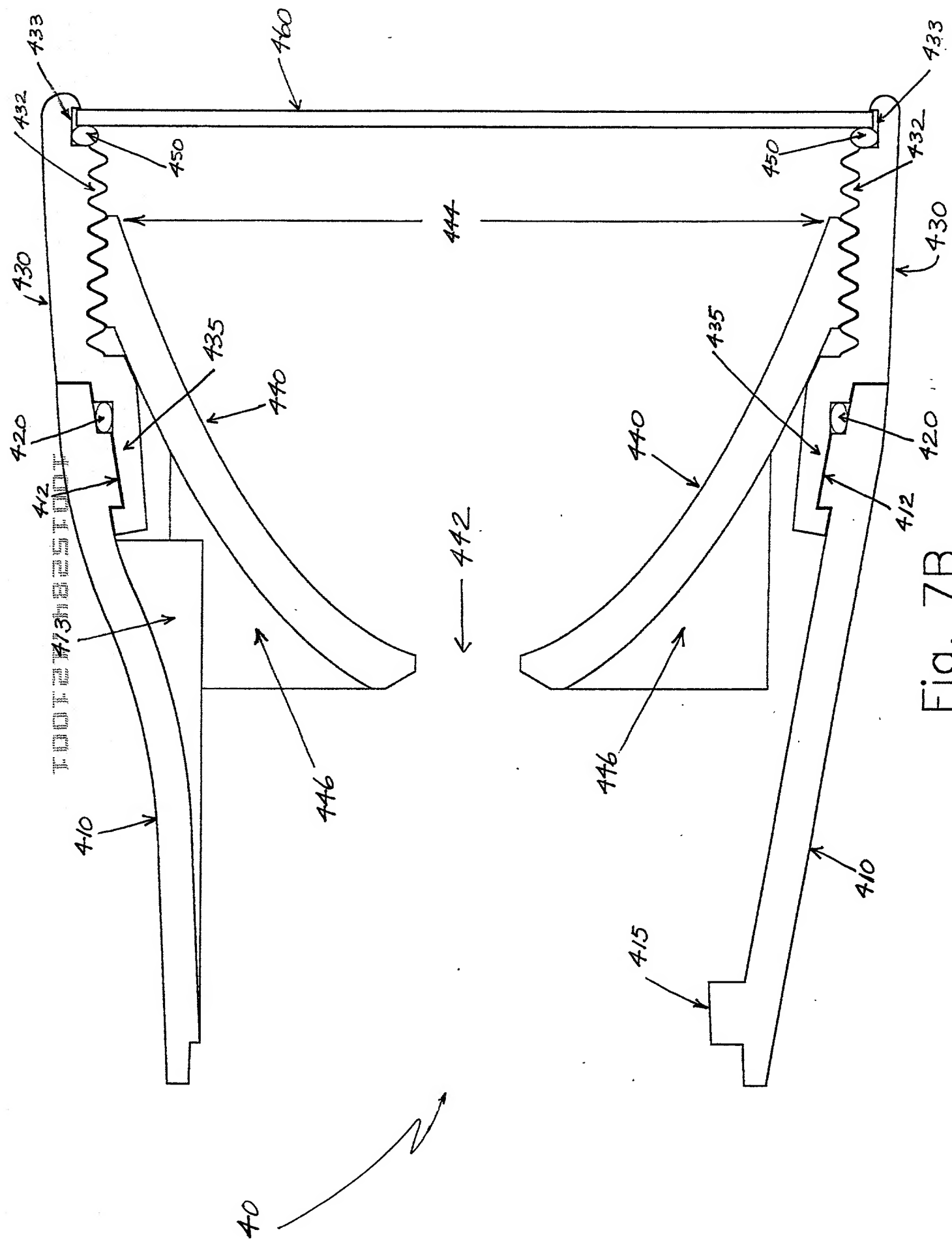


Fig. 7B

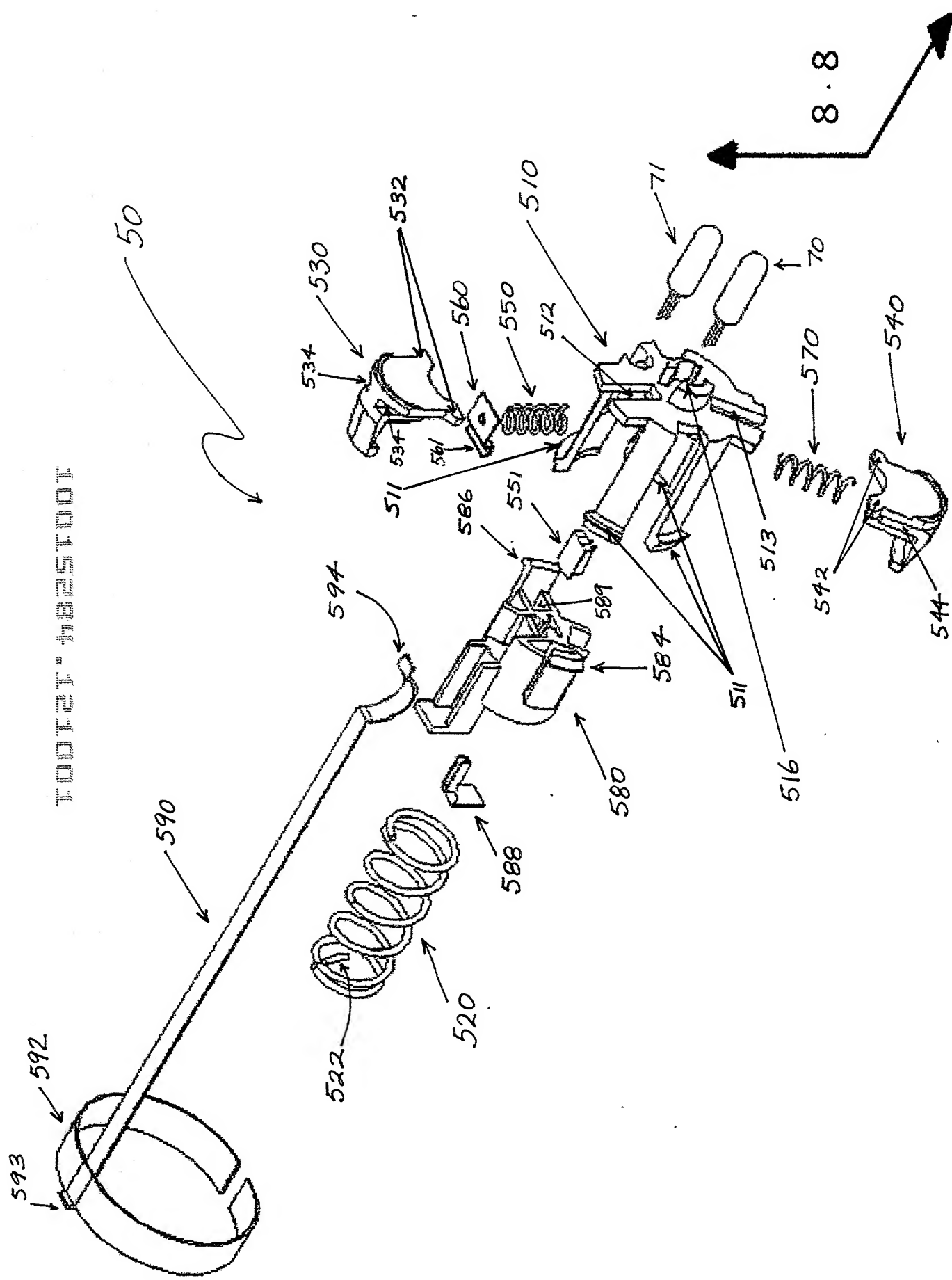


Fig. 8A

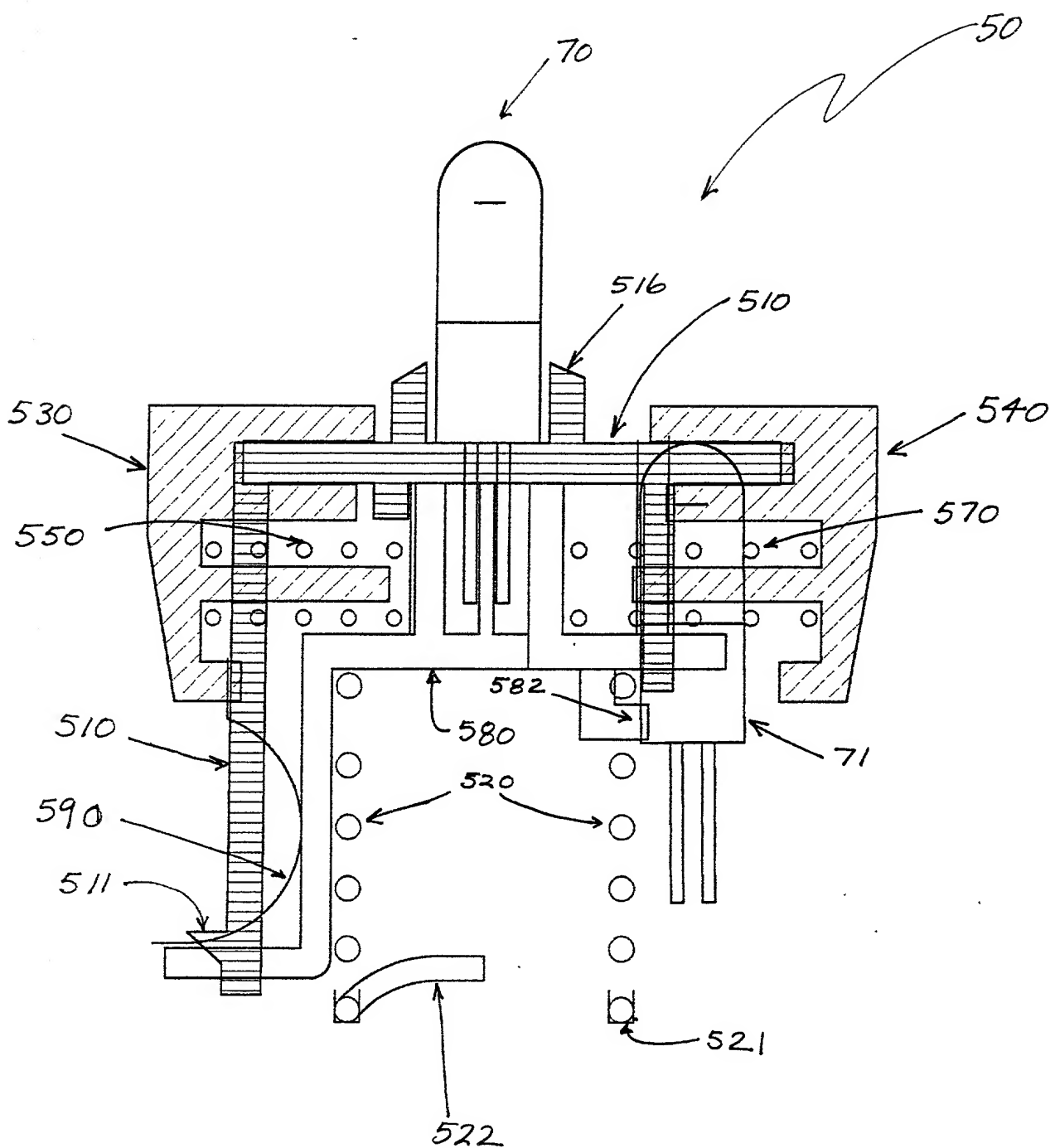
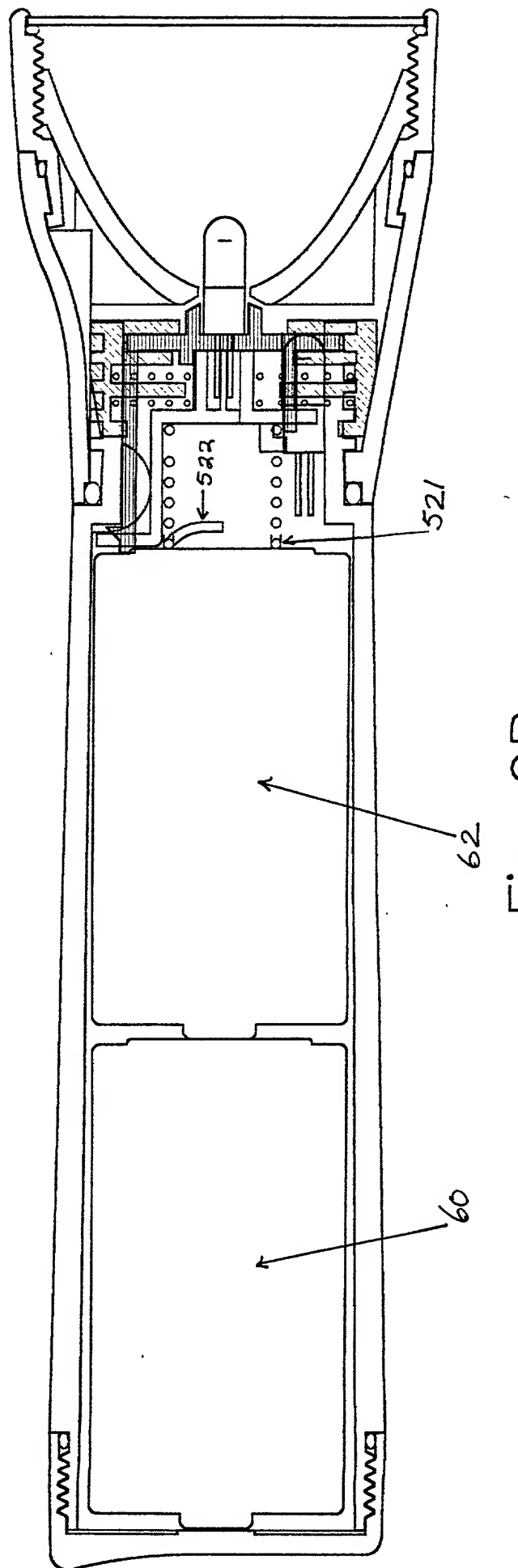
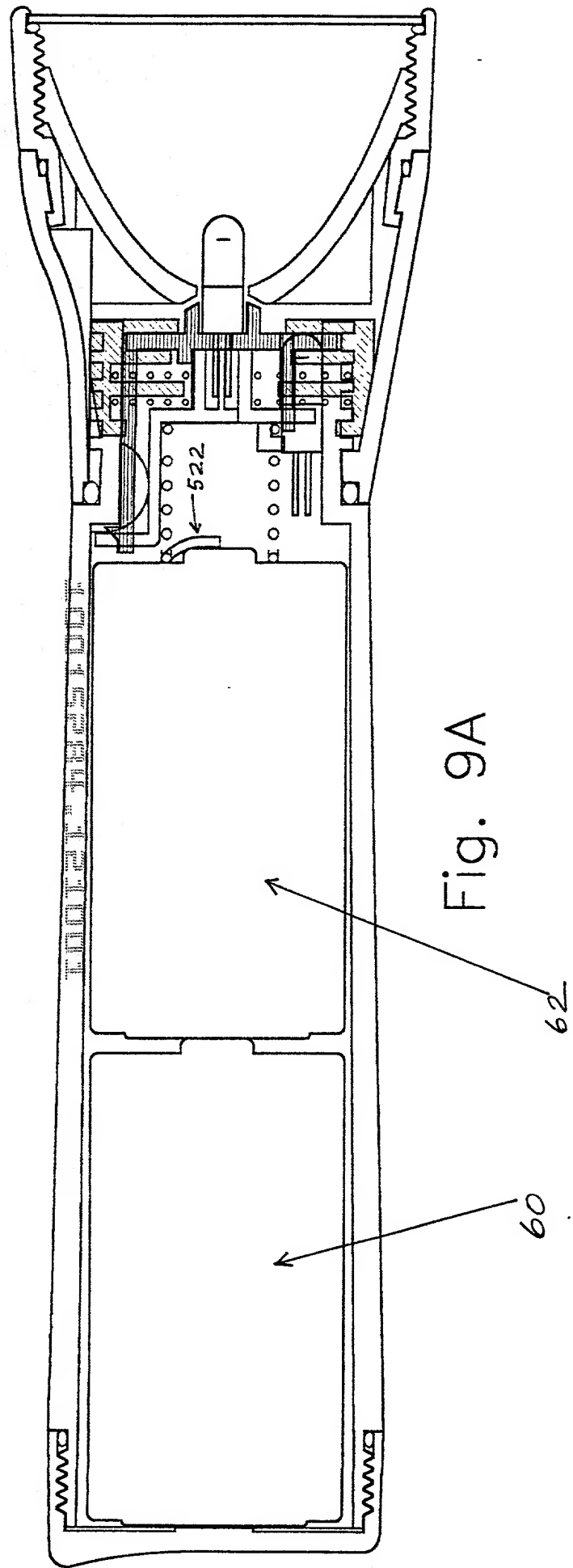


Fig. 8B



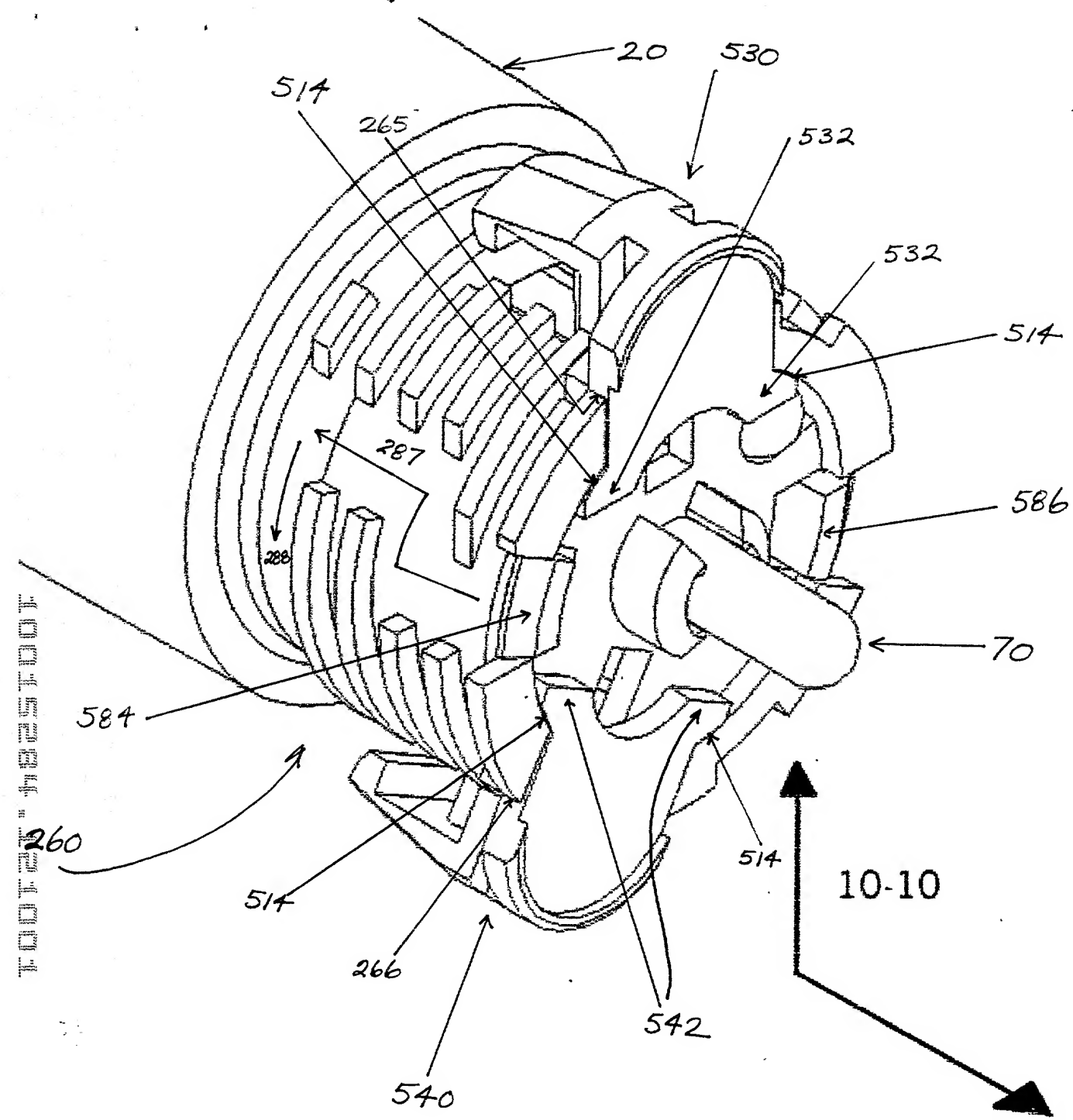


Fig. 10

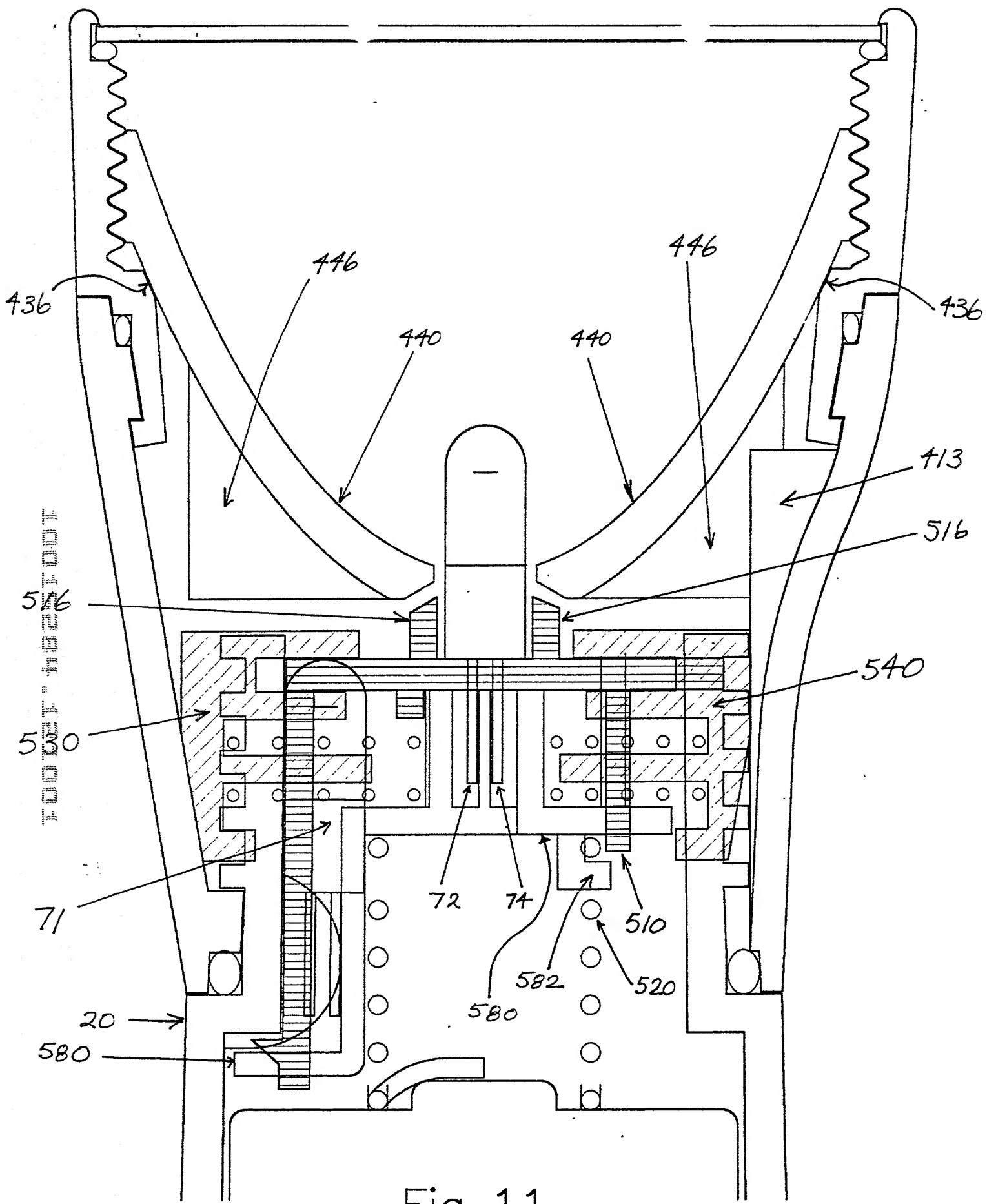


Fig 11

473
TODOT "THE 25TH"

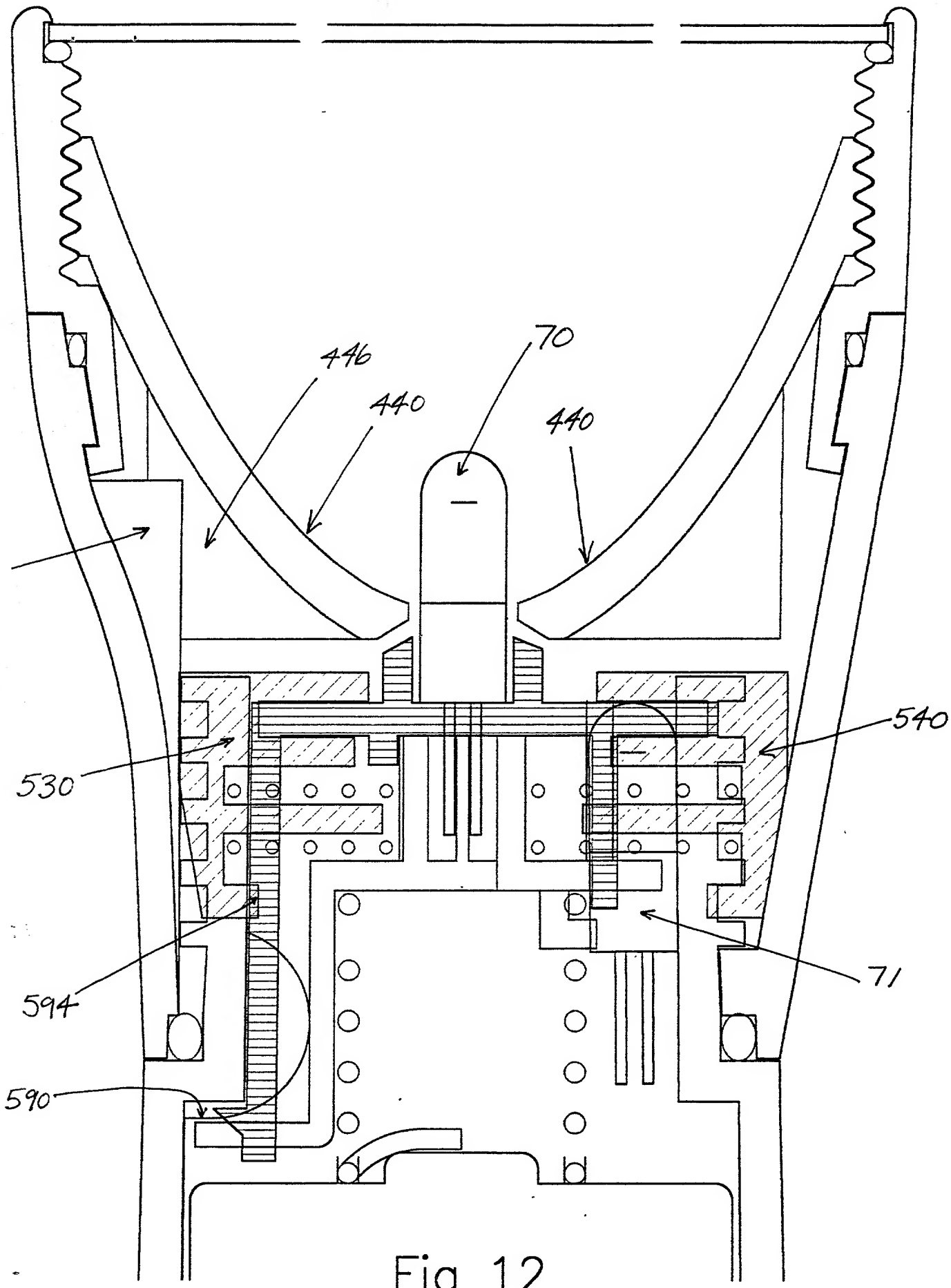


Fig 12

Fig.13 A

Eccentricity	Vertex Curvature	Effective Focal Length	Subtended Angle of Light	Minimum Spot Diameter
0.80	2.26	-2.50	112	33
0.80	2.18	-3.00	108	33
0.80	2.06	-4.01	104	36
0.82	2.38	-2.50	114	31
0.82	2.26	-3.00	109	29
0.82	2.17	-4.01	105	35
0.83	2.44	-2.50	115	30
0.83	2.35	-3.00	110	29
0.83	2.22	-4.01	105	33
0.84	2.51	-2.50	115	31
0.84	2.42	-3.00	111	28
0.84	2.29	-4.01	106	33
0.85	2.59	-2.50	116	28
0.85	2.49	-3.00	112	27
0.85	2.35	-4.01	107	30
0.85	2.23	-5.63	103	35
0.85	2.17	-8.01	101	41
0.86	2.89	-2.50	119	35
0.88	2.78	-3.00	114	29
0.88	2.70	-3.56	112	26
0.88	2.70	-4.01	112	26
0.88	2.45	-5.83	105	29
0.88	2.36	-8.01	103	34
0.90	3.05	-3.00	116	32
0.90	2.92	-3.56	113	28
0.90	2.85	-4.01	111	26
0.90	2.65	-5.63	107	25
0.90	2.55	-8.01	105	30
0.90	2.49	-19.23	104	30
0.91	3.23	-3.00	122	34
0.91	3.00	-4.01	116	26
0.91	2.79	-5.83	110	26
0.91	2.66	-8.01	107	26
0.91	2.60	-19.23	106	28
0.92	3.44	-3.00	118	36
0.92	3.19	-4.01	113	28
0.92	2.94	-5.83	109	25
0.92	2.80	-8.01	109	23
0.92	2.73	-19.23	106	26
0.92	2.47	-2E+99	101	33
0.93	3.42	-4.01	114	29
0.93	3.13	-5.83	110	27
0.93	2.95	-8.01	108	25
0.93	2.89	-19.23	107	24
0.93	2.58	-2E+99	102	32
0.94	3.73	-4.01	115	35
0.94	3.38	-5.83	111	29
0.94	3.18	-8.01	109	26
0.94	3.09	-19.23	108	26
0.94	2.71	-2E+99	103	27
0.95	3.70	-5.83	112	31
0.95	3.44	-8.01	110	28
0.95	3.33	-19.23	109	27
0.95	3.00	-2E+99	109	26
0.95	2.91	-2E+99	104	25

Fig.13 B

Eccentricity	Vertex Curvature	Effective Focal Length	Subtended Angle of Light	Minimum Spot Diameter
0.96	4.16	-5.83	113	35
0.96	3.83	-8.01	110	32
0.96	3.68	-19.23	110	29
0.96	3.40	-2E+99	107	25
0.96	3.07	-2E+99	105	23
0.97	4.19	-19.23	110	30
0.97	3.60	-2E+99	107	26
0.97	3.40	-2E+99	106	24
0.97	3.35	-2E+99	106	24
0.98	5.20	-19.23	112	37
0.98	3.90	-2E+99	107	25
0.98	3.80	-2E+99	106	24
0.98	3.77	-2E+99	106	24
0.99	4.58	-2E+99	107	30
1.00	4.10	-2E+99	105	26
1.00	5.50	-2E+99	106	32
1.00	8.00	2E+99	102	45
1.00	10.00	2E+99	106	45
1.01	4.70	2E+99	105	29
1.02	4.00	2E+99	103	26
1.03	3.60	2E+99	101	23
1.04	3.30	2E+99	100	23
1.05	3.15	2E+99	98	24
1.06	2.95	2E+99	97	27
1.07	2.80	2E+99	95	29
1.10	2.45	2E+99	92	33
1.10	4.25	4.93	96	24
1.10	4.60	4.93	95	23
1.10	4.60	4.93	96	26
1.10	5.50	4.93	96	33
1.10	5.30	3.92	94	24
1.10	6.30	3.50	93	25
1.15	2.15	2E+99	87	35
1.15	3.25	4.93	92	26
1.15	3.85	3.92	92	22
1.15	4.35	3.50	92	24
1.15	5.35	3.00	91	24
1.15	7.20	2.47	87	26
1.15	8.20	2.47	82	
1.20	3.20	3.92	91	26
1.20	3.55	3.50	90	24
1.20	4.25	3.00	90	24
1.20	6.60	2.47	87	27
1.25	2.80	3.92	88	30
1.25	3.00	3.50	88	27
1.25	3.60	3.00	88	26
1.25	5.25	2.47	86	29

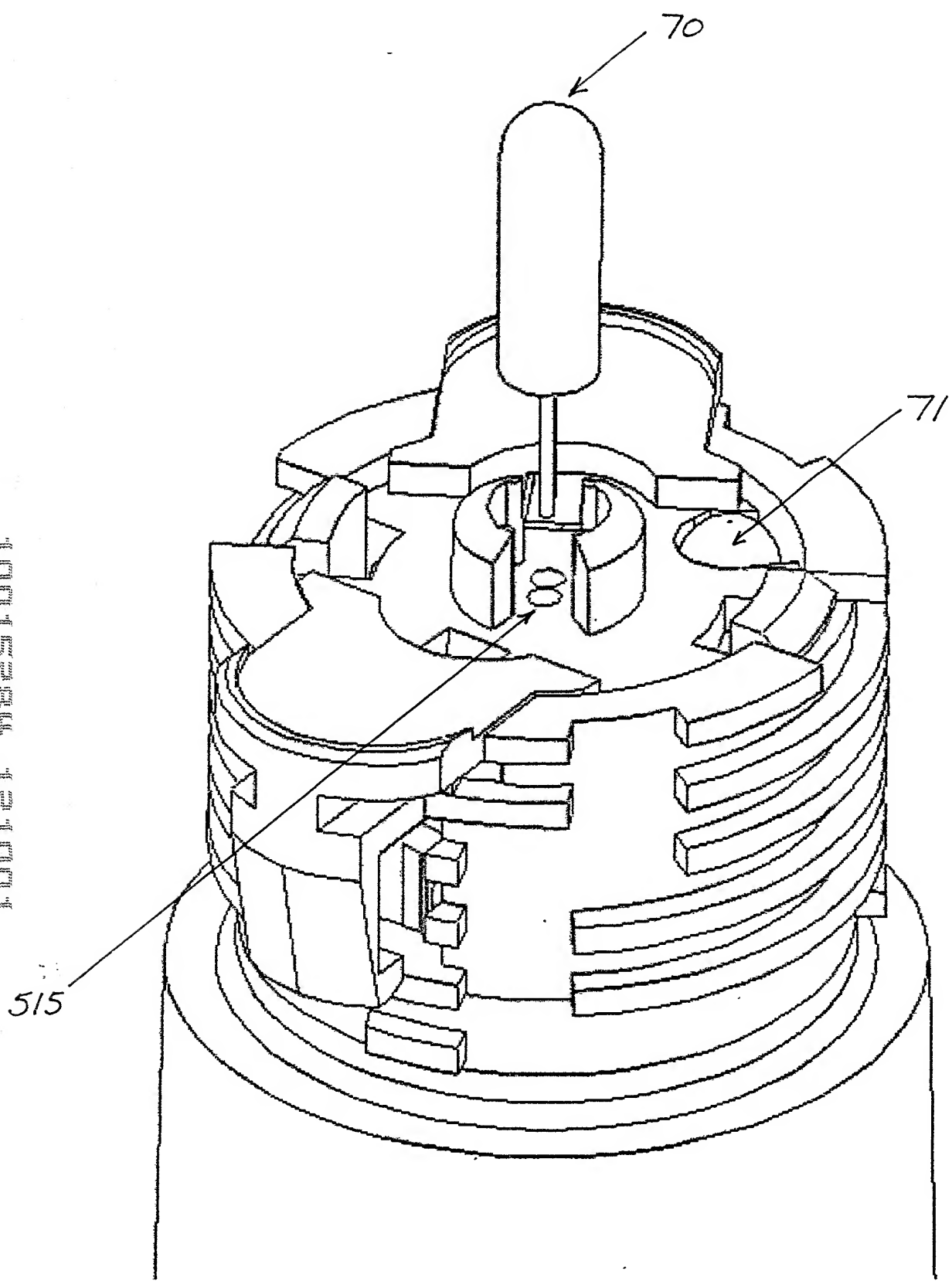


Fig. 14A

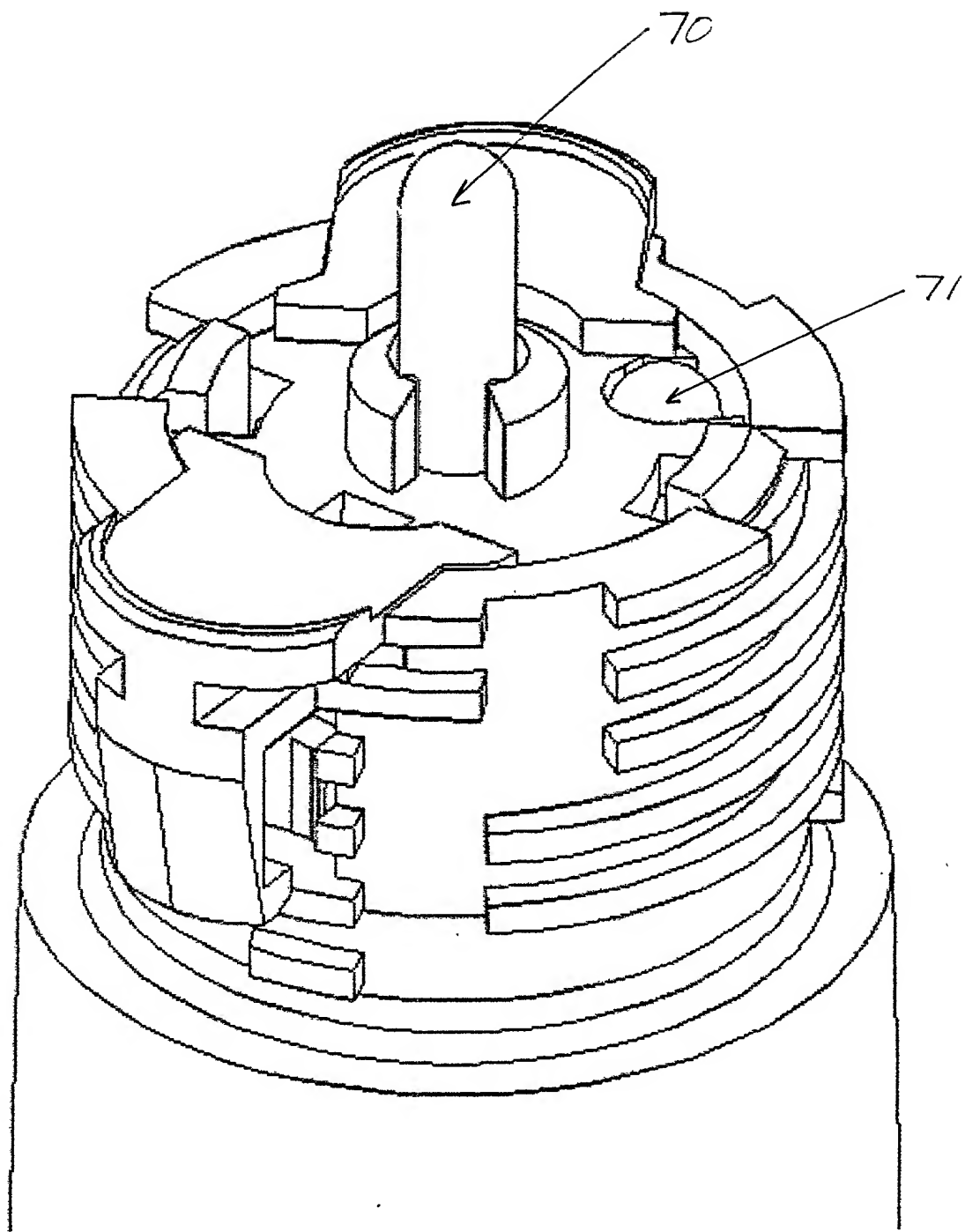


Fig. 14B

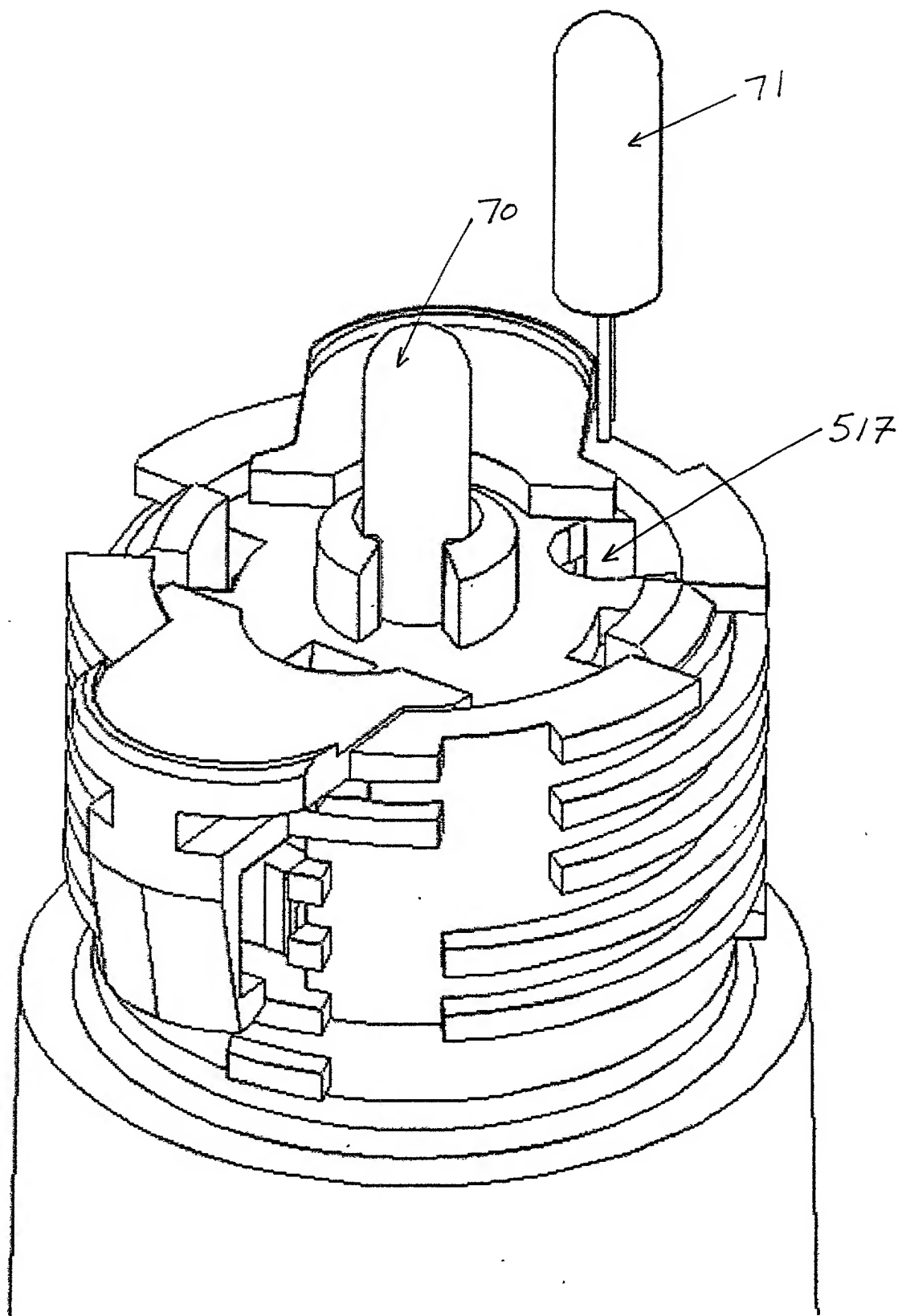
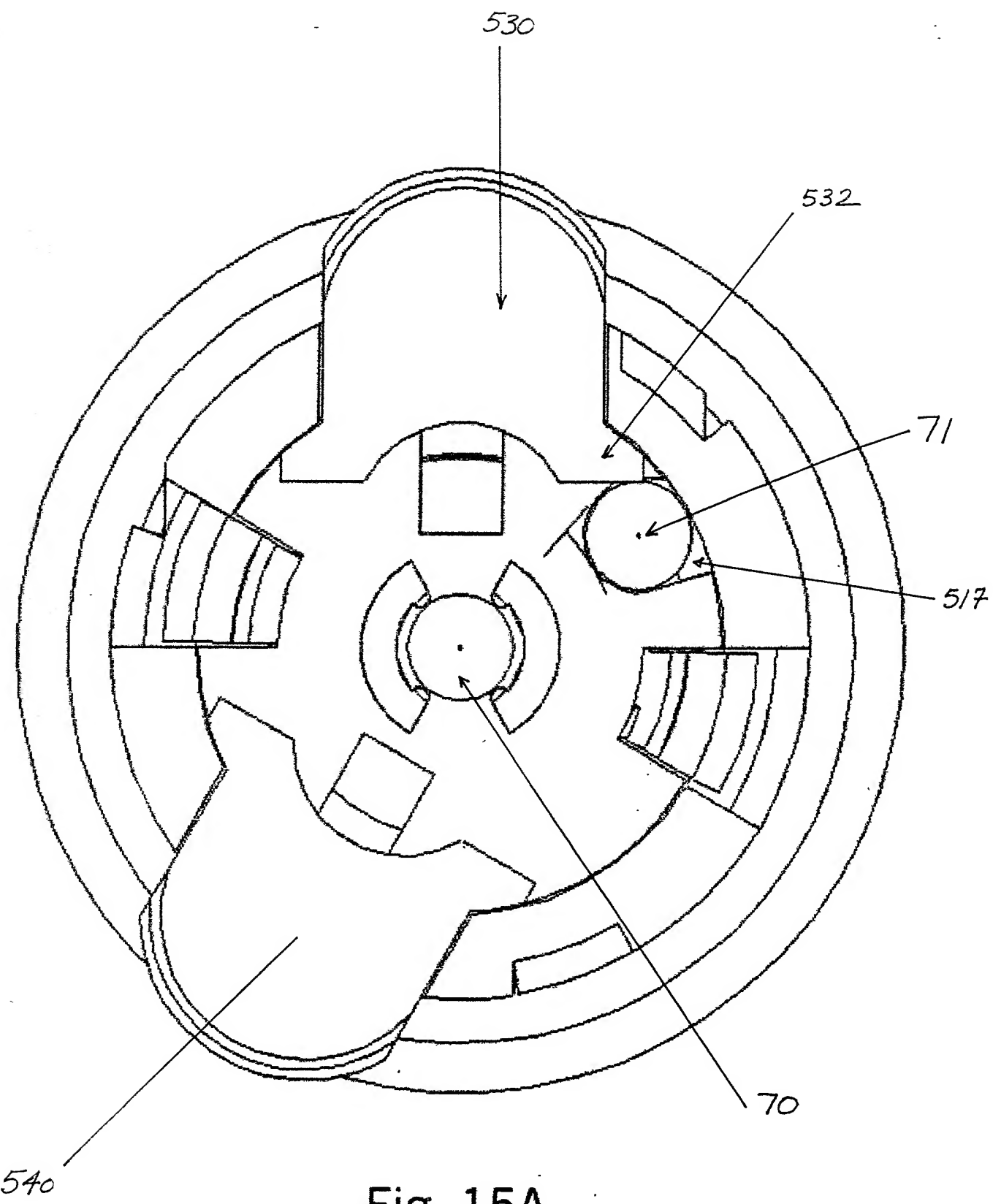


Fig. 14C



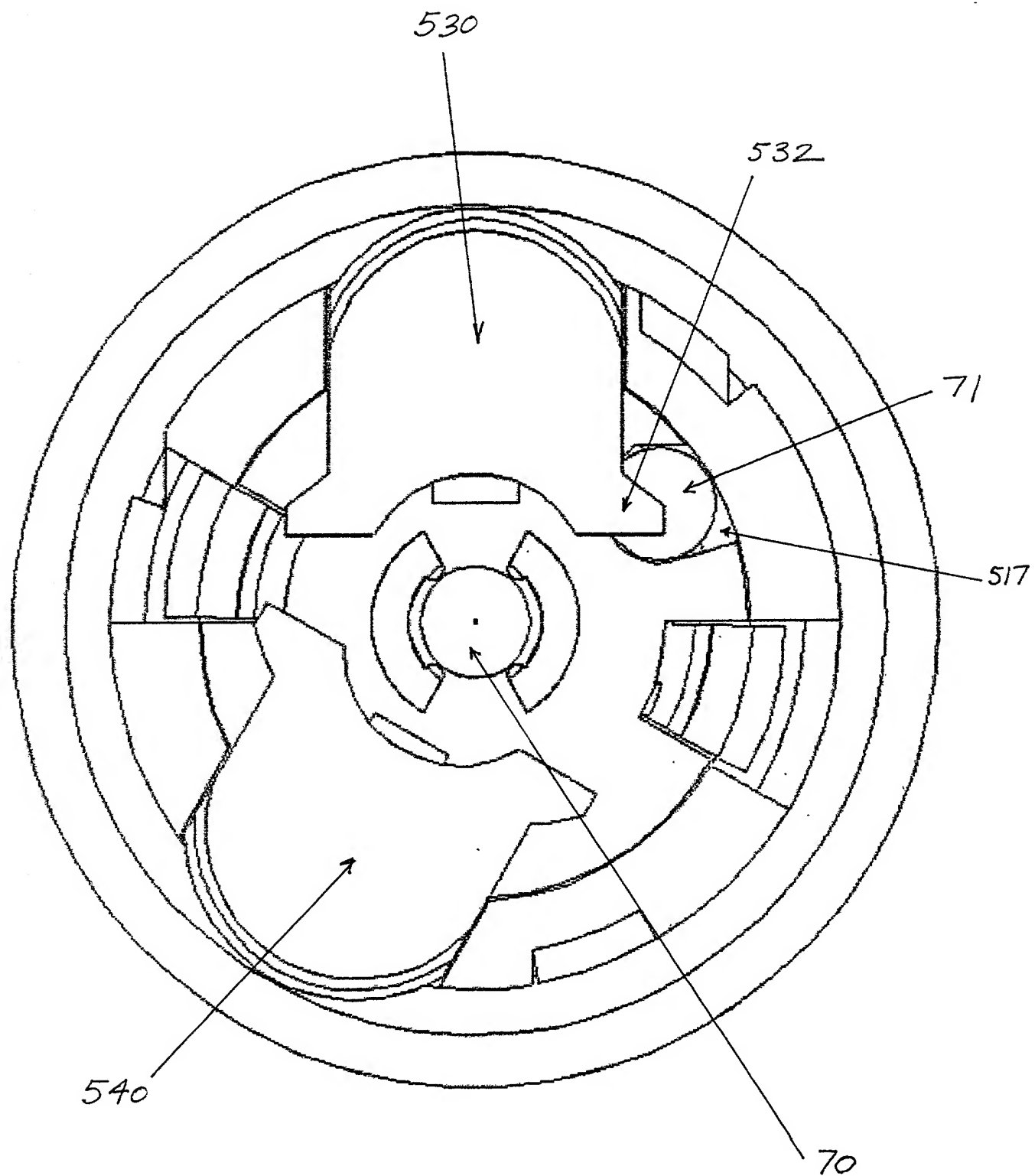


Fig. 15B